

8 Škrupiny zaťažené vonkajším tlakom

8.1 Účel

Táto kapitola poskytuje požiadavky na navrhovanie škrupín vystavených zaťaženiu vonkajším tlakom. Požiadavky platia pre vystužené a nevystužené valcovité a kužeľovité, guľovité škrupiny a klenuté dná.

Tam, kde pôsobia významné zaťaženia, dodatočné spevnenie sa zabezpečí buď zväčšením hrúbky škrupiny, alebo pomocou výstuže. Predpisy neplatia v oblasti tečenia/krípu materiálov, iba podľa požiadaviek v kapitole 19 a predpokladá sa, že odchýlka sa upraví počas krípu pod nadmerné odchýlky citované v EN 13445-4: 2009.

8.2 Špecifické definície

Nasledujúce definície platia okrem tých, ktoré sú uvedené v kapitole 3.

8.2.1 nominálna medza pružnosti (angl. nominal elastic limit): medza pružnosti, ktorá platí v tejto kapitole na navrhovanie pri zaťažení vonkajším tlakom

8.2.2 masívna výstuha (angl. heavy stiffener): obvodová výstuha, ktorú navrhne projektant ako masívnu/hrubostennú tak, aby platili špeciálne požiadavky tejto kapitoly

8.2.3 ľahká výstuha (angl. light stiffener): obvodová výstuha, ktorú navrhne projektant ako ľahkú/tenkostennú tak, aby platili špeciálne požiadavky tejto kapitoly

8.2.4 preborenie medzi výstuhami (angl. interstiffener collapse): zrútenie – kolaps časti valca medzi dvoma vystužovacími prstencami alebo medzi vystužovacím prstencom a dnom nádoby

8.2.5 celkové preborenie (angl. overall collapse): zrútenie – kolaps časti valca, ktorý zahŕňa ľahkú alebo masívnu výstuhu

8.2.6 rovina hlavnej podpery (angl. plane of substantial support): dno nádoby alebo rovina rozdeľujúca nádobu na dve časti, z ktorej každá sa posudzuje samostatne pri navrhovaní od vonkajšieho tlaku

8.2.7 súčinieľ bezpečnosti (angl. safety factor): pomer dolného medzného predpokladaného tlaku do preborenia/zrútenia a výpočtového tlaku

8.2.8 vybočenie výstuhy (angl. stiffener tripping): bočné zakrivenie výstuhy okolo svojho prípojného bodu k plášťu

8.3 Špecifické značky a definície

Nasledujúce špecifické značky a skratky platia okrem tých, ktoré sú uvedené v kapitole 4.

- a je dĺžka plášťa pokrytá vyhrievacou/chladiacou cievkou, pozri obrázky 8.5-11a a 8.5-12;
- A_e prierez výstuhy a voľná dĺžka plášťa, pozri rovnici (8.5.3-30);
- A_f prierez prírub výstuhy;
- A_m modifikovaný prierez výstuhy, pozri rovnici (8.5.3-17);
- A_s prierez výstuhy;
- A_w prierez steny;
- B parameter výpočtu preborenia/zrútenia medzi výstuhami, pozri rovnici (8.5.3-18);
- C súčinieľ výpočtu vybočenia výstuhy, pozri rovnice (8.5.3-50) a (8.5.3-51);
- CGs vyjadruje polohu ľažiska výstuhy;
- CGc vyjadruje ľažisko výstuhy plus voľnú dĺžku plášťa;
- \bar{d} vzdialenosť ku koncu výstuhy, pozri rovnici (8.5.3-40);
- d radiálna výška výstuhy medzi prírubami, pozri obrázky 8.5-14, 8.5-15, 8.5-16 a 8.5-17;
- e_f hrúbka prírub výstuhy;
- e_w hrúbka steny výstuhy;
- G parameter výpočtu preborenia/zrútenia medzi výstuhami, pozri rovnici (8.5.3-22);
- h, h', h'' sú vonkajšie výšky klenutých dien, pozri obrázky 8.5.1 a 8.5.2;
- I_e moment zotrvačnosti plochy zloženého prierezu výstuhy a voľnej dĺžky plášťa pôsobiacej s ňou (Le) okolo osi rovnobežnej s osou valca prechádzajúcej cez ľažisko zloženého prierezu, pozri rovnici (8.5.3-26);
- I_{est} predbežne vypočítaný moment zotrvačnosti plochy výstuhy;
- I_l moment zotrvačnosti plochy príruby okolo jej ľažiska;

I_s	moment zotračnosti plochy prierezu výstuhy okolo osi prechádzajúcej cez ťažisko rovno-bežne s osou valca;
I_w	moment zotračnosti plochy steny okolo jej ťažiska;
L	nepodopretá dĺžka plášťa;
L_{cyl}	dĺžka valca medzi dotyčnicami;
L_{con}	axiálna dĺžka kužeľa, pozri obrázok 8.5-2;
L_e	voľná dĺžka plášťa pôsobiaca s ťahkom výstuhou, pozri rovnicu (8.5.3-34);
L_{eH}	voľná dĺžka plášťa pôsobiaca s masívou výstuhou udanou v 8.5.3.7;
L_H	vzdialenosť medzi masívnymi výstuhami, pozri tabuľku 8.5-1;
L'_H, L''_H, \dots	sú jednotlivé dĺžky medzi masívnymi výstuhami, pozri obrázok 8.5-7;
L_s	stredná dĺžka dvoch polí plášťa prilahlých k ťahkej výstuhe, pozri tabuľku 8.5-1;
L_{sH}	stredná dĺžka dvoch polí plášťa prilahlých k masívnej výstuhe, pozri 8.5-1;
L'_s, L''_s, \dots	sú jednotlivé dĺžky medzi ťahkými výstuhami, pozri obrázky 8.5-6 a 8.5-8;
N	parameter výpočtu preborenia/zrútenia medzi výstuhami, pozri rovnicu (8.5.3-21) a tabuľku 8.5-2;
n	počet obvodových vln pre vystužený valec;
n_{cyl}	počet obvodových vln pre nevystuženú časť valca, pozri 8.5.2.2;
P	požadovaný vonkajší návrhový tlak;
P_C	návrhový tlak vo vyhrievacom/chladiacom kanáli tak, ako je použitý v 8.5.3.5;
P_g	teoretický tlak elastickej nestability výstuhy na valci, pozri rovnicu (8.5.3-24), alebo na kuželi, pozri rovnicu (8.6.4-1);
P_H	teoretický tlak elastickej nestability na masívnu výstuhu, pozri rovnicu (8.5.3-42);
P_m	teoretický tlak elastickej nestability na preborenie/zrútenie perfektného valcovitého, kužeľovitého alebo guľovitého plášťa, pozri rovnice (8.5.2-5), (8.6.3-2) a (8.7.1-2);
P_r	vypočítaný dolný medzný tlak na preborenie/zrútenie získaný z obrázka 8.5-5;
P_y	tlak, pri ktorom stredné obvodové napätie vo valcovitom alebo kužeľovitom plášti v strede medzi výstuhami alebo v guľovitom plášti dosiahne medzu klzu, pozri rovnice (8.5.2-4), (8.6.3-1) a (8.7.1-1);
P_{ys}	tlak spôsobujúci obvodový skiz vo výstuhe na valci, pozri rovnicu (8.5.3-38), alebo na kuželi, pozri rovnicu (8.6.4-6);
R	stredný polomer valcovitého alebo guľovitého plášťa alebo stredný polomer prstenca torosférického dna;
R_t	polomer pre časť výstuhy, ktorá sa nachádza najďalej od plášťa (pozri obrázky 8.5-14 až 8.5-17);
R_s	polomer ťažiska prierezu výstuhy;
$R_{p0,2T,s}$	dohovorená medza klzu pri $p = 0,2\%$ pri teplote T pre výstuhu;
r_i	polomer bodu na stene výstuhy najbližšie k plášťu, okolo ktorého sa predpokladá rotácia pri vybočení/vyšmyknutí výstuhy (pozri obrázky 8.5-14 až 8.5-17);
S	súčineteľ bezpečnosti použitý v tejto kapitole, pozri rovnicu (8.4.4-1);
S_t	súčineteľ závisiaci od metódy výroby výstuhy – rovnice (8.5.3-32) a (8.5.3-33);
u	parameter použitý vo výpočte L_e , pozri rovnice (8.5.3-36);
w	celková šírka výstuhy i v kontakte s plášťom, pozri rovnicu (8.5.3-39) a (pozri obrázky 8.5-14 až 8.5-17);
w_l	prečnievajúca šírka pásnice výstuhy (pozri obrázky 8.5-14 až 8.5-17);
w', w''	sú čiastkové šírky výstuhy i v kontakte s plášťom (pozri obrázok 8.5-8);
X_e	parameter výpočtu celkového preborenia/zrútenia, pozri rovnicu (8.5.3-27);
X_{eH}	parameter výpočtu celkového preborenia/zrútenia, pozri rovnicu (8.5.3-44);
Y_1, Y_2, Y_3	sú súčineteľe použité vo výpočte L_e , pozri 8.5.3.6.3;

α	polovičný vrcholový uhol kužeľa (stupne) (pozri obrázok 8.5-2);
β	získaný z obrázka 8.5-13, alebo vypočítaný z rovnice (8.5.3-25);
δ	parameter pri navrhovaní výstuhy, pozri rovnice (8.5.3-19) a (8.5.3-20);
ε	stredná elastická obvodová deformácia pri preborení/zrútení, pozri 8.5.2.2;
ε'	modifikovaná stredná elastická obvodová deformácia pri zrútení pre kužeľovitý plášť;
λ	parameter závisiaci od umiestnenia výstuhy, pozri rovnice (8.5.3-28) a (8.5.3-29);
σ_e, σ_{es}	sú nominálne medze pružnosti pre plášť alebo výstuhu, pozri 8.4;
σ_H	maximálne napätie v masívnej výstuhe, pozri rovnici (8.5.3-47);
σ_i	napätie nestability pre bočné vyšmyknutie/vybočenie výstuhy, pozri rovnice (8.5.3-49) a (8.5.3-54);
σ_s	maximálne napätie v ľahkej výstuhe, pozri rovnice (8.5.3-37) a (8.6.4-5).

8.4 Všeobecne

8.4.1 Hrúbka komponenta od zaťaženia vonkajším tlakom nesmie byť menšia ako hrúbka požadovaná touto normou pod tým istým tlakom pôsobiacim ako vnútorný tlak so súčiniteľom spoja 1,0.

8.4.2 Pre plášte zhotovené z neaustenitickej ocele nominálna medza pružnosti musí byť daná:

$$\sigma_e = R_{p0,2/T} = 223 \text{ MPa} \quad (8.4.2-1)$$

a pre výstuhy z rovnakého materiálu:

$$\sigma_{es} = R_{p0,2/T,s} = 223 \text{ MPa} \quad (8.4.2-2)$$

8.4.3 Pre plášte zhotovené z austenitickej ocele nominálna medza pružnosti musí byť daná:

$$\sigma_e = \frac{R_{p0,2/T}}{1,25} \quad (8.4.3-1)$$

a pre výstuhy z rovnakého materiálu:

$$\sigma_{es} = \frac{R_{p0,2/T,s}}{1,25} \quad (8.4.3-2)$$

POZNÁMKA. – Ak hodnota $R_{p0,2}$ nie je k dispozícii, bezpečným odhadom je $R_{p0,n}/1,3$.

8.4.4 Minimálny súčiniteľ bezpečnosti, ktorý platí v celom rozsahu tejto kapitoly, je daný:

Pre podmienky navrhovania

$$S = 1,5 \quad (8.4.4-1)$$

Pre podmienky skúšania

$$S = 1,1 \quad (8.4.4-2)$$

8.5 Valcovité plášte

8.5.1 Hranice kruhovitosti

8.5.1.1 Tolerancia kruhovitosti

Požiadavky 8.5.2 a 8.5.3 platia pre valce, ktoré sú kruhové do 0,5 % polomeru (t.j. $0,005R$) meraný zo skutočného stredu. Tolerancia musí byť uvedená na výkrese nádoby.

Metódy overenia tvaru nádob sú uvedené v prílohe D. Postup stanovenia skutočného stredu súboru meraní polomeru a následne stanovenia odchýlky od skutočného kruhu valca je opísaný v prílohe E.

7 Škrupiny zaťažené vnútorným tlakom

7.1 Účel

Táto kapitola stanovuje požiadavky na navrhovanie proti vnútornému tlaku osovo symetrických plášťov – valcov, gúľ, časti guľovitých škrupín, klenutých dien, kužeľovitých škrupín a prieniky kužeľa valcom. Existujú aj metódy navrhovania šíkmých kužeľov spájajúcich dva valce a pre hrdlá zasahujúce do oblých (anuloidových) oblastí klenutých dien.

7.2 Špecifické definície

Nasledujúce definície platia spolu s definíciami v kapitole 3.

7.2.1 valec (angl. cylinder): priamy kruhový valec

7.2.2 torosférické dno (angl. torispherical end): klenuté dno skladajúce sa z guľovitého úseku (klenutá časť), toroidného zaoblenia (anuloidový prechod) a valcovitého plášťa (lemu), pričom všetky tri časti majú spoločné dotyčnice v mieste stretnutia

7.2.3 Kloepperov model (angl. Kloepper type): torosférické dno pre ktoré $R/D_e = 1,0$ a $r/D_e = 0,1$

7.2.4 Korbogenov model (angl. Korbogen type): torosférické dno pre ktoré $R/D_e = 0,8$ a $r/D_e = 0,154$

7.2.5 eliptické dno (angl. ellipsoidal end): klenuté dno zhotovené zo skutočného elipsoidického tvaru

7.3 Špecifické značky a skratky

Nasledujúce značky a skratky platia navyše s tými, ktoré sú uvedené v kapitole 4.

D_e je vonkajší priemer plášťa;

D_i vnútorný priemer plášťa;

D_m stredný priemer plášťa;

r vnútorný polomer zakrivenia zaoblenia anuloidového prechodu.

7.4 Valcovité a guľovité plášte

7.4.1 Podmienky použitia

Požiadavky v 7.4.2 a 7.4.3 sú platné pre e/D_e nie väčšie ako 0,16. Požiadavky na guľovité plášte platia aj pre guľovité časti plášťov, polguľovitých dien, centrálnych oblastí torosferoidálnych dien a tú časť gule, ktorá sa používa na spojenie kužeľa a valca (zaoblenie $r/D_i = 0,5$).

POZNÁMKA 1. – Požiadavky podľa 7.4.2 a 7.4.3 možno použiť aj pre väčšie pomery ak je návrh doplnený podrobnejším výpočtom na únavu

POZNÁMKA 2. – Hrúbka udaná pre túto časť je minimálna. Hrubku možno zväčšiť v stykoch s ostatnými časťami alebo zabezpečiť dodatočné vystuženie na hrdlach alebo otvoroch, alebo vytvoriť netlakové zataženie.

7.4.2 Valcovité plášte

Požadovaná hrúbka sa musí vypočítať z jednej z nasledujúcich dvoch rovnic:

$$e = \frac{P \cdot D_i}{2f \cdot z - P} \quad (7.4-1)$$

alebo

$$e = \frac{P \cdot D_e}{2f \cdot z + P} = \frac{0,1 \cdot 220,0}{2 \cdot 148,7 \cdot 1 + 0,1} = 0,144 \text{ mm} \quad (7.4-2)$$

$$C_a = 0,8 \text{ mm}$$

29

$$C_{min} = 0,8 + 1 = 1,8 \text{ mm}$$

Je prípustné zmeniť toleranciu, ak je k dispozícii nadmerná hrúbka. Táto záležitosť je obsiahnutá v 8.5.1.2.

8.5.1.2 Tolerancia kruhovitosti pre valce s nadmernou hrúbkou

Ak dovolený tlak P/S stanovený v 8.5.2.2 je väčší ako navrhnutý tlak, potom požadovaná tolerancia pre valec sa môže byť zvýšiť na:

$$\text{Tolerancia} = 0,005 \frac{P_r}{P \cdot S} \quad (8.5.1-1)$$

Pre výstupy sa musí splniť rovnica (8.5.3-37) s požadovanou zväčšenou toleranciou dosadenou na miesto 0,005.

8.5.1.3 Dovolený tlak, ak kruhovitosť prevyšuje toleranciu 0,5 %

Príloha F udáva postup, ktorým možno vypočítať povolený tlak pre valce, pri ktorých sa po výrobe zistilo, že ich kruhovitosť prevyšuje toleranciu 0,5 %.

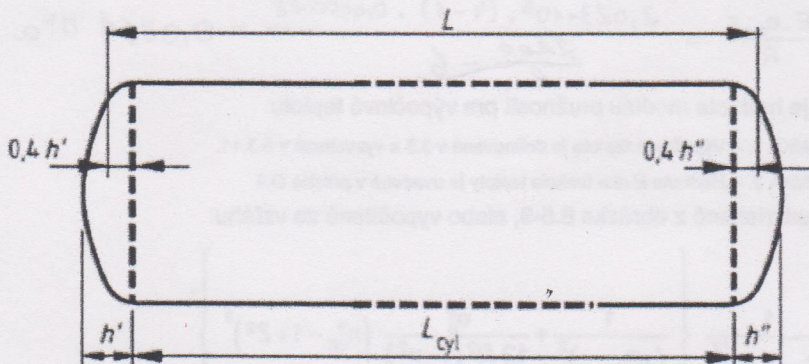
POZNÁMKA. – V praxi sa zistilo, že vo väčšine prípadov, kde nie je splnená tolerancia kruhovitosti valca, použitím prílohy F sa musí preukázať, že skutočný tvar je prijateľný. To sa však nesmie predpokladať bez dodržania postupu prílohy F.

8.5.2 Nevystužené valce

8.5.2.1 Nepodopretá dĺžka

Na obrázku 8.5-1, L je dané:

$$L = L_{\text{cyl}} + 0,4h' + 0,4h'' = 5000 + 0,4 \cdot 563,6 + 0,4 \cdot 563,6 = 5450,9 \quad (8.5.2-1)$$



Obrázok 8.5-1 – Valec s dnami

Na obrázku 8.5-2, L je dané:

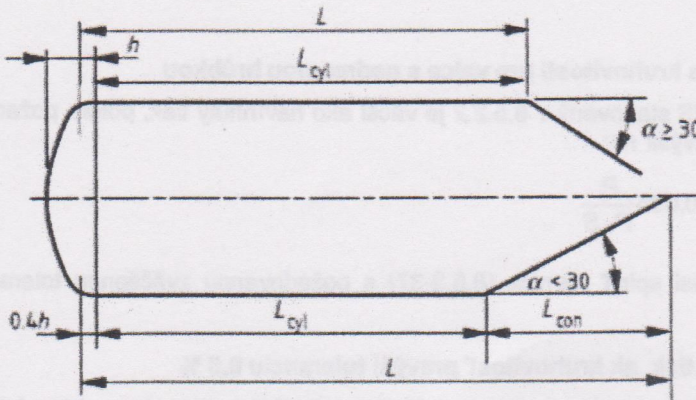
kedž $\alpha \geq 30^\circ$.

$$L = L_{\text{cyl}} + 0,4h \quad (8.5.2-2)$$

kedž $\alpha < 30^\circ$.

L je dané:

$$L = L_{\text{cyl}} + 0,4h + L_{\text{con}} \quad (8.5.2-3)$$



POZNÁMKA. – Pre priečinky kužeľa/válca pozri 8.6.5.

Obrázok 8.5-2 – Valec s dnom a kužeľovou časťou

8.5.2.2 Hrúbka valca

Hrúbka valca nesmie byť menšia ako hrúbka stanovená podľa nasledujúceho postupu :

a) zvolí sa hodnota pre e_a a vypočítame P_y takto:

$$P_y = \frac{\sigma_e \cdot e_a}{R} = \frac{223 \cdot (4-1)}{\frac{2200}{2} - 6} = 1,217 \text{ MPa} \quad (8.5.2-4)$$

b) vypočíta sa P_m z nasledujúcej rovnice použitím rovnakej zvolenej hodnoty pre e_a :

$$P_m = \frac{E \cdot e_a \cdot \varepsilon}{R} = \frac{2,023 \cdot 10^5 \cdot (4-1) \cdot 0,000078}{\frac{2200}{2} - 6} = 0,0864 \text{ MPa} \quad (8.5.2-5)$$

kde E je hodnota modulu pružnosti pre výpočtovú teplotu

POZNÁMKA 1. – Výpočtová teplota je definovaná v 3.5 a vysvetlená v 5.3.11.

POZNÁMKA 2. – Hodnota E ako funkcia teploty je uvedená v prílohe O.4.

ε buď získané z obrázka 8.5-3, alebo vypočítané zo vzťahu:

$$\varepsilon = \frac{1}{n_{cyl}^2 - 1 + \frac{Z^2}{2}} \left\{ \frac{1}{\left(\frac{n_{cyl}^2 + 1}{Z^2} \right)^2} + \frac{e_a^2}{12 R^2 (1-v^2)} (n_{cyl}^2 - 1 + Z^2)^2 \right\}, \quad (8.5.2-6)$$

kde n_{cyl} je celé číslo získané z obrázka 8.5-4, alebo vypočitané na minimalizovanie hodnoty P_m ;

$$Z = \frac{\pi \cdot R}{L} \quad (8.5.2-7)$$

v ktorom L je stanovené podľa 8.5.2.1.

POZNÁMKA. – Obrázok 8.5-3 je nakreslený podľa rovnice (8.5.2-6).

c) vypočítame $\frac{P_m}{P_y}$ a stanovíme $\frac{P_r}{P_y}$ z krivky 1) na obrázku 8.5-5.

$$\frac{P_m}{P_y} = \frac{0,0861}{1,217} = 0,070$$

Musí sa splniť nasledujúca podmienka:

$$P < P_r / S \quad (8.5.2-8)$$

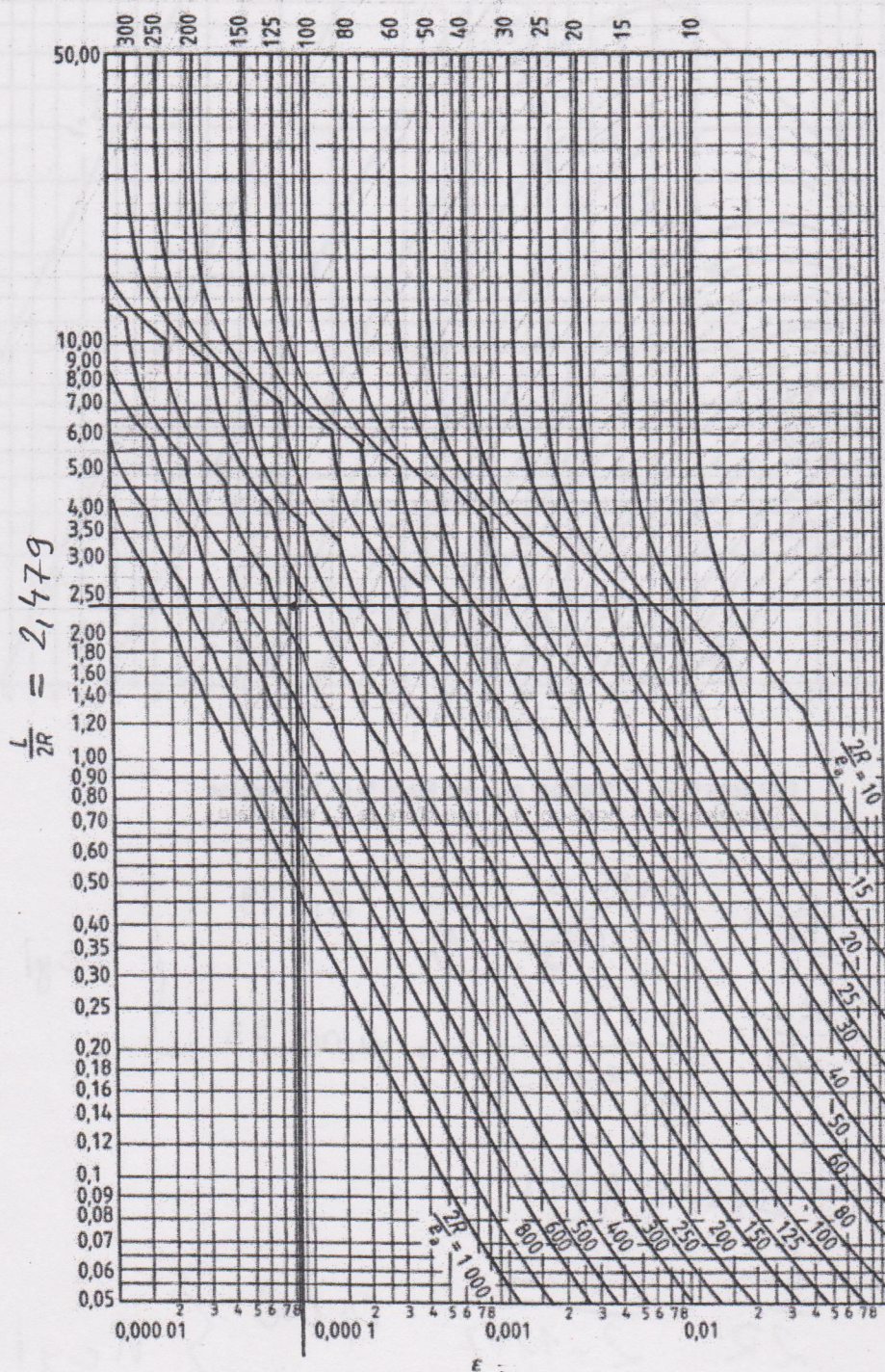
Ak P_r je veľmi malý, hrúbka sa musí zväčšiť alebo sa musí zabezpečiť výstuha a postup sa musí zopakovať.

$$P = 0,1 \left| \frac{0,0428}{1,5} \right. = 0,0285$$

NEVYHODUJE \Rightarrow TORZOVÉ SÚ VÝSTUHY

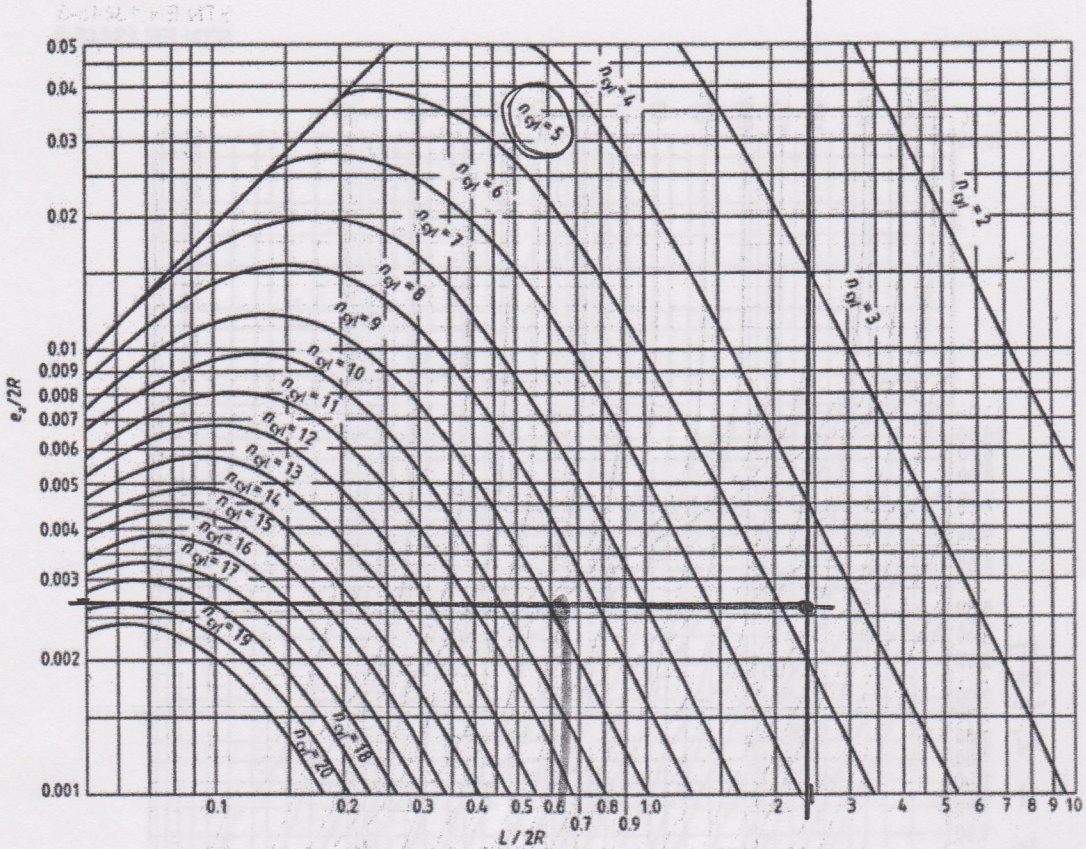
$$\frac{P_r}{P_y} = 0,0352$$

$$P_r = 0,0352 \cdot 1,217 = 0,0428$$

Obrázok 8.5-3 – Hodnoty ϵ

Musíme použiť hodnotu n_{cyl} zodpovedajúcu najbližšej krvke, ale v prípade pochybnosti musíme posúdiť obidve hodnoty n_{cyl} .

$$\left. \begin{array}{l} \frac{L}{2R} = 2,479 \\ \frac{2R}{\ell a} = 366 \end{array} \right\} \Rightarrow \epsilon = 0,000078$$

Obrázok 8.5-4 – Hodnoty n_{cyl} , pre ktoré je P_m minimálne

BEZ VÝSTUHY

$$\frac{L}{2R} = \frac{5450,9}{2 \cdot \left(\frac{2200}{2} - 1 \right)} = 2,479 \quad \left. \begin{array}{l} \\ \end{array} \right\} n_{cyl} = 5$$

$$\frac{e_a}{2R} = \frac{(7 - 1)}{2 \left(\frac{2200}{2} - 1 \right)} = 0,00243 \quad \left. \begin{array}{l} \\ \end{array} \right\}$$

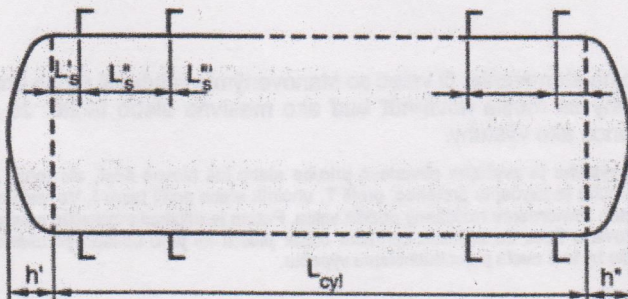
S VÝSTUHAMÍ

$$\frac{L_S}{2R} = \frac{1362}{2 \cdot 1097} = 0,62 \quad \left. \begin{array}{l} \\ \end{array} \right\} n_{cyl} = 9$$

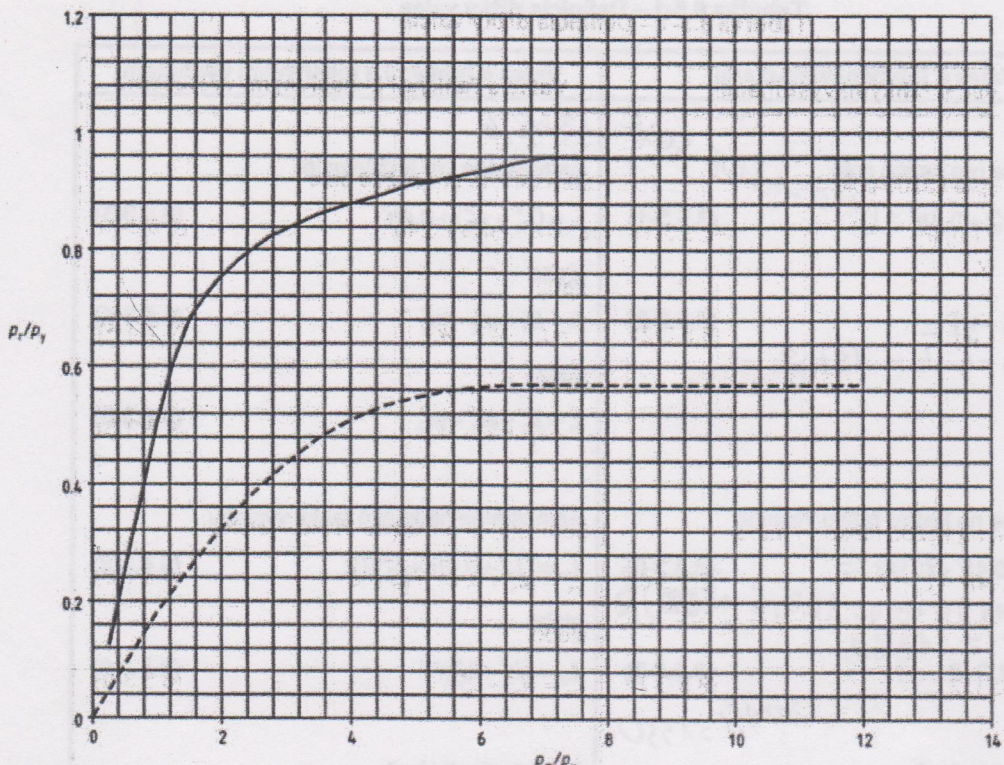
$$\frac{e_a}{2R} = 0,00243 \quad \left. \begin{array}{l} \\ \end{array} \right\}$$

Tabuľka 8.5-1 – Definícia dĺžky valca

Valec s ľahkými výstuhami	Valec s ľahkými a masívnymi výstuhami
Samostatne pre každé pole $L = (L'_s - w'_1) + 0,4h' = (1150 - 4) + 0,4 \cdot 563,6 = 1368,6$ alebo $L = L'_s - w'_2 - w'_2 = 1350 - 4 - 4 = 1342$	Samostatne pre každé pole $L = (L'_s - w'_1) + 0,4h'$ alebo $L = L'_s - w'_2 - w'_2$ alebo $L = L'_s - w'_3 - w'_3$
Samostatne na každú ľahkú výstuhu $L_s = (L'_s + 0,4h' + L''_s)/2 = (1150 + 0,4 \cdot 563,6 + 1350)/2 = 1362$ $L_s = (L'_s + L''_s)/2 = (1300 + 1350)/2 = 1325$	Samostatne na každú ľahkú výstuhu $L_s = (L'_s + 0,4h' + L''_s)/2$ alebo $L_s = (L'_s + L''_s)/2$
Na vyhodnotenie β $L_H = L_{cyl} + 0,4h' + 0,4h'' = 5000 + 0,4 \cdot 563,6 + 0,4 \cdot 563,6 = 5451$	Na vyhodnotenie β $L_H = L'_H + 0,4h'$ alebo $L_H = L''_H$
	Na každú masívnu výstuhu $L_{sh} = (L'_H + 0,4h' + L''_H)/2$ alebo $L_{sh} = (L'_H + L''_H)/2$



Obrázok 8.5-6 – Valec s ľahkými výstuhami



Legenda

1 – Valce a kužele

P_m/P_y	0	0,25	0,5	0,75	1,0	1,25	1,5	1,75	2,0	2,25	2,5	2,75	3	3,25	3,5
P_r/P_y	0	0,125	0,251	0,375	0,5	0,605	0,68	0,72	0,755	0,78	0,803	0,822	0,836	0,849	0,861
P_n/P_y	3,75	4,0	4,25	4,5	4,75	5,0	5,25	5,5	5,75	6,0	6,25	6,5	6,75	$\geq 7,0$	
P_t/P_y	0,87	0,879	0,887	0,896	0,905	0,914	0,917	0,923	0,929	0,935	0,941	0,947	0,953	0,959	

2 – Gule a klenuté dná

P_m/P_y	0	0,5	1	1,5	2	2,5	3,0	3,5	4	4,5	5,0	5,5	6	$\geq 6,5$
P_r/P_y	0	0,09	0,18	0,255	0,324	0,386	0,435	0,479	0,51	0,533	0,548	0,565	0,567	0,57

Obrázok 8.5-5 – Hodnoty P_r/P_y ako funkcie P_m/P_y

8.5.3 Vystužené valce

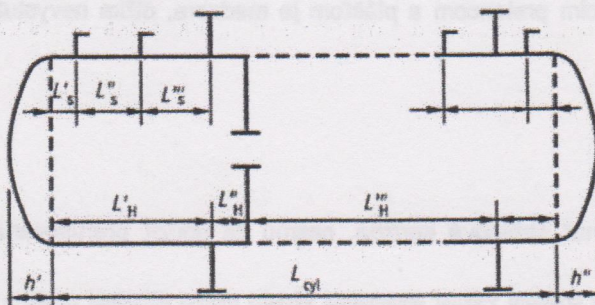
8.5.3.1 Úvod

Článok 8.5.3 udáva postup na stanovenie, či valec so stanovenými výstuhami môže prenášať navrhovaný vonkajší tlak. Všetky výstupy sa musia navrhnuť buď ako masívne alebo fahké. Je prípustné nepovažovať malé obvodové prstence ako výstupy.

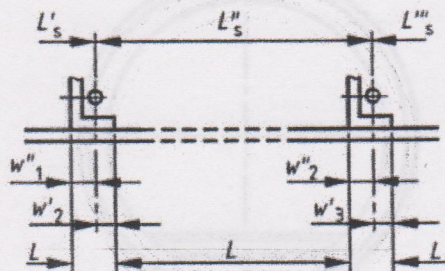
POZNÁMKA. – Masívna výstupa je zvyčajne obvodová príruba alebo iná hlavná časť, ale môže ľo u byť predovšetkým bežná výstupa. Lehká výstupa je zvyčajne prstenec, profil T, uholník alebo profil tvaru I. Vo väčšine praktických prípadov musí byť určitý počet výstupov rovnomenne rozložený pozdiž valca. Potom je najekonomickejšie navrhnuť všetky výstupy ako fahké, lebo výpočet celkového tlaku do zrátenia zohľadni odpor plášta na jeho spôsob porušenia, ale ak by sa všetky navrhli ako masívne, viedlo by to k oveľa jednoduchšiemu výpočtu.

8.5.3.2 Nevystužená dĺžka

Nevystužené dĺžky valca s výstuhami musia byť v súlade s tabuľkou 8.5-1. Rozmery sú uvedené na obrázkoch 8.5-6, 8.5-7 a 8.5-8.



Obrázok 8.5-7 – Valec s ľahkými a masívnymi výstuhami

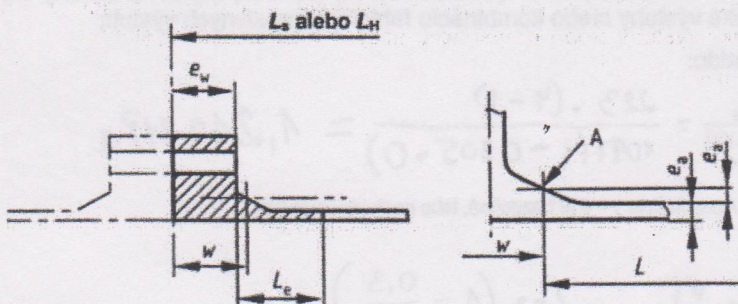


Obrázok 8.5-8 – Podrobné rozmery

Kde príruba fungujú ako masívne výstuhy, šrafovaná plocha musí byť stanovená tak, ako vidieť na obrázku 8.5-9 a). Bod « A » musí byť umiestnený tak, ako vidieť na obrázku 8.5-9 b) a musí sa stanoviť w .

A_s jednej prírubi sa musí vypočítať zo šrafovanej plochy minus $e_a(e_w + L_e)$.

Spojenie A_s a L_e obidvoch prírub sa musí zvážiť pri vyhodnocovaní ich primeranosti ako výstuhy.



a) Definícia šrafovanej plochy

b) Umiestnenie bodu A

Obrázok 8.5-9 – Príraby ako masívne výstuhy

8.5.3.3 Navrhovanie výstuh

Keď výstuhy majú formu účelovo zabudovaných prstencov obopínajúcich plášť, takéto prstence sa môžu umiestniť do vnútra, vonku alebo čiastočne vnútorné a čiastočne zvonká k plášťu nádoby. Prstence môžu splňať aj prevádzkové požiadavky ako napríklad podpora etážového zásobníka vo frakčných kolónach, ktorá odoláva vonkajšiemu tlaku. Musia splňať požiadavky 8.5.3 a byť primerané prevádzkovým zaťaženiam procesu.

Tam, kde medzi vystužovacím prstencom a pláštom je medzera, dĺžka nevystuženého plášta nesmie prevyšiť:

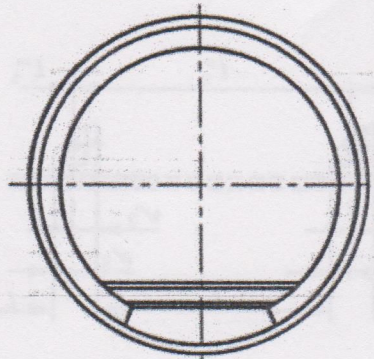
obvod nádoby

$$4n_{cyl}$$

Pozri obrázok 8.5-10.

Tam, kde sa môže vyskytnúť štrbinová korózia, nesmú sa použiť prerušované zvary na upevnenie takýchto prstencov na plášť.

POZNÁMKA. – Začiatočnú približnú veľkosť prstencovej výstuhy možno odhadnúť použitím 10 % plochy plášta medzi výstuhami.



Obrázok 8.5-10 – Vnútorný výstužný prstenec, ktorý nie je v úplnom kontakte s pláštom

8.5.3.4 Preborenie/Zrútenie medzi výstuhami

Každá časť vystuženého valca sa musí prekontrolovať z hľadiska preborenia/zrútenia medzi výstuhami. Postup je podobný ako v 8.5.2.2 pre nevystužené valce, ale L sa stanovi z tabuľky 8.5-1 v závislosti od toho, či má valec ľahké výstuhy alebo kombináciu ľahkých a masívnych výstuh;

a) vypočítame P_y takto:

$$P_y = \frac{\sigma_e \cdot e_a}{R(1-\gamma \cdot G)} = \frac{223 \cdot (4-1)}{1097(4-0,305 \cdot 0)} = 1,219 \text{ MPa} \quad (8.5.3-15)$$

POZNÁMKA 1. – Aproximácia $\gamma = 0$ je bezpečná, lebo podhodnocuje tlak.

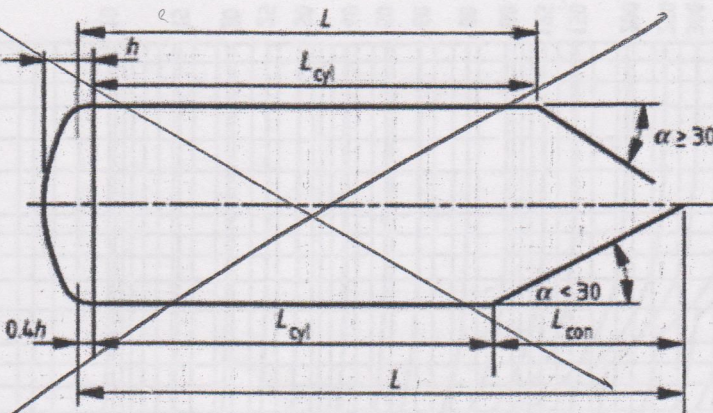
V ktorej

$$\gamma = \frac{A_m \left(1 - \frac{v}{2}\right)}{(A_m + w \cdot e_a)(1+B)} = \frac{452 \left(1 - \frac{0,3}{2}\right)}{(452 + 8 \cdot 6)(1+1,519)} = 0,305 \quad (8.5.3-16)$$

kde

$$A_m = \left(\frac{R^2}{R_s^2}\right) A_s = \left(\frac{1097^2}{(1100+30)^2}\right) \cdot 8 \cdot 60 = 452 \quad (8.5.3-17)$$

$$B = \frac{2e_a \cdot N}{\delta (A_m + w \cdot e_a)} = \frac{2 \cdot 6 \cdot 1}{0,0158 (452 + 8 \cdot 6)} = 1,519 \quad (8.5.3-18)$$



POZNÁMKA – Pre priečinky kužeľa/valca pozri 8.6.5.

Obrázok 8.5-2 – Valec s dnom a kužeľovou časťou

8.5.2.2 Hrúbka valca

Hrúbka valca nesmie byť menšia ako hrúbka stanovená podľa nasledujúceho postupu :

- a) zvolí sa hodnota pre e_a a vypočítame P_y takto:

~~$$P_y = \frac{\sigma_e \cdot e_a}{R}$$~~

(8.5.2-4)

- b) vypočítajte sa P_m z nasledujúcej rovnice použitím rovnakej zvolenej hodnoty pre e_a :

$$P_m = \frac{E \cdot e_a \cdot \epsilon}{R} = \frac{2,023 \cdot 10^5 \cdot 6 \cdot 0,0003}{1097} = 0,332 \quad (8.5.2-5)$$

kde E je hodnota modulu pružnosti pre výpočtovú teplotu

POZNÁMKA 1. – Výpočtová teplota je definovaná v 3.5 a vysvetlená v 5.3.11.

POZNÁMKA 2. – Hodnota E ako funkcia teploty je uvedená v prílohe O.4.

ϵ buď získané z obrázka 8.5-3, alebo vypočítané zo vzťahu:

$$\epsilon = \frac{1}{\frac{n_{cyl}^2 - 1 + Z^2}{2}} \left\{ \frac{1}{\left(\frac{n_{cyl}^2}{Z^2} + 1 \right)^2} + \frac{e_a^2}{12 R^2 (1 - \nu^2)} \left(n_{cyl}^2 - 1 + Z^2 \right)^2 \right\} \quad (8.5.2-6)$$

kde n_{cyl} je celé číslo získané z obrázka 8.5-4, alebo vypočítané na minimalizovanie hodnoty P_m ;

$$Z = \frac{\pi \cdot R}{L} \quad (8.5.2-7)$$

v ktorom L je stanovené podľa 8.5.2.1.

POZNÁMKA. – Obrázok 8.5-3 je nakreslený podľa rovnice (8.5.2-6).

- c) vypočítajte $\frac{P_m}{P_y}$ a stanovíme $\frac{P_r}{P_y}$ z krivky 1) na obrázku 8.5-5.

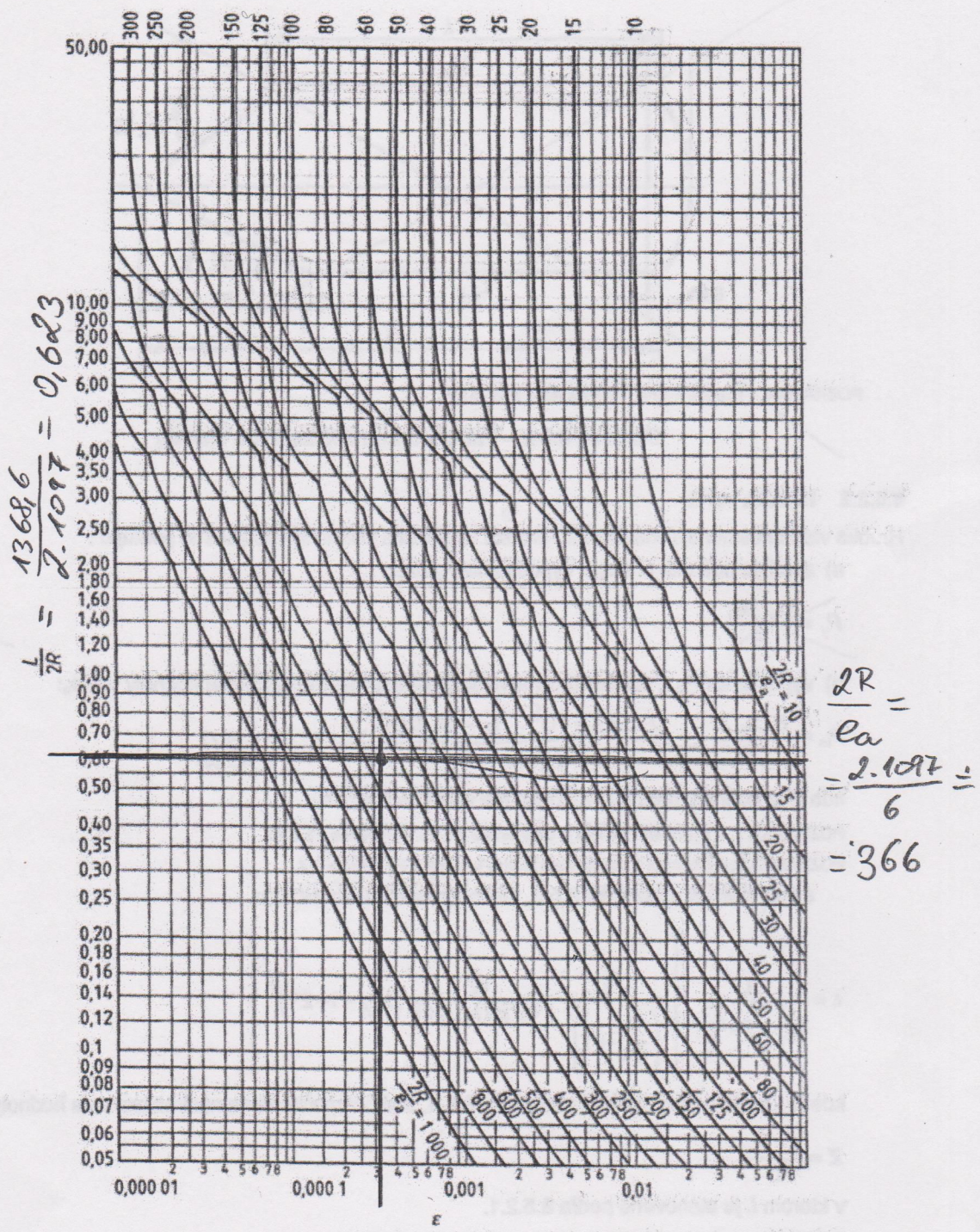
$$\frac{P_m}{P_y} = \frac{0,332}{1,219} = 0,272 \Rightarrow$$

Musí sa splniť nasledujúca podmienka:

$$P < P_r / S \quad (8.5.2-8)$$

Ak P_r je veľmi malý, hrúbka sa musí zväčšiť alebo sa musí zabezpečiť výstuha a postup sa musí zopakovať.

$$P = 0,1 < \frac{0,139 \cdot 1,219}{1,5} = 0,113 \text{ MPa} \quad \Rightarrow \frac{P_r}{P_y} = 0,139 \Rightarrow P_r = 0,139 \cdot P_y$$

Obrázok 8.5-3 – Hodnoty ϵ

Musíme použiť hodnotu n_{cyl} zodpovedajúcu najbližšej krvke, ale v prípade pochybnosti musíme posúdiť obidve hodnoty n_{cyl} .

$$\delta = \frac{[3(1-v^2)]^{0.25}}{\sqrt{R \cdot e_a}} = \frac{[3(1-0.13^2)]^{0.25}}{\sqrt{1097.6}} = 0,0158 \quad (8.5.3-19)$$

z ktorej, ak $v = 0,3$

$$\delta = \frac{1,28}{\sqrt{R \cdot e_a}} \quad (8.5.3-20)$$

$$N = \frac{\cosh(\delta L) - \cos(\delta L)}{\sinh(\delta L) + \sin(\delta L)} = 1 \quad (\text{tab } 8.5-2) \quad (8.5.3-21)$$

a

$$G = \frac{2 \left[\sinh\left(\frac{\delta L}{2}\right) \cos\left(\frac{\delta L}{2}\right) + \cosh\left(\frac{\delta L}{2}\right) \sin\left(\frac{\delta L}{2}\right) \right]}{\sinh(\delta L) + \sin(\delta L)} \doteq 0 \quad (\text{tab } 8.5-2) \quad (8.5.3-22)$$

POZNÁMKA 2. – Ak $L > 3\sqrt{R \cdot e_a}$ potom možno použiť $G = 0$.

POZNÁMKA 3. – Tabuľku 8.5-2 možno použiť na výhodnotenie G a N .

(b) vypočíta sa P_m ako v 8.5.2.2 b) pričom naďalej sa bude používať L z tabuľky 8.5-1;

(c) stanovi sa P , ako v 8.5.2.2 c) a skontroluje sa, či je splnená rovnica (8.5.2-8).

$$\delta \cdot L = 0,0158 \cdot 1368,6 = 21,62$$

Tabuľka 8.5-2 – Hodnoty G a N , ktoré možno predpokladať

$\delta \cdot L$	G	N	$\delta \cdot L$	G	N
0	1,000	0	3,2	0,411	1,090
0,2	1,000	0,100	3,4	0,335	1,085
0,4	1,000	0,200	3,6	0,264	1,077
0,6	0,999	0,300	3,8	0,200	1,066
0,8	0,996	0,400	4,0	0,144	1,054
1,0	0,990	0,497	4,2	0,095	1,042
1,2	0,979	0,593	4,4	0,054	1,032
1,4	0,961	0,685	4,6	0,019	1,023
1,6	0,935	0,772	4,7	0,004	1,019
1,8	0,899	0,851	(4,73)	0,000	1,018
2,0	0,852	0,921	4,8	0,000	1,015
2,2	0,795	0,979	5,0	0,000	1,009
2,4	0,728	1,025	5,2	0,000	1,005
2,6	0,653	1,058	5,4	0,000	1,001
2,8	0,573	1,078	5,5	0,000	1,000
3,0	0,492	1,088	> 5,5	0,000	1,000

8.5.3.5 Vyhrievacie/ochladzovacie kanály

Tento článok udáva požiadavky na hrúbku valca, na ktorý sú pripojené obvodové vyhrievacie/ochladzovacie kanály. Takéto kanály sú známe aj ako polkruhové alebo privárané hady. Dva typické príklady konštrukcie vidieť na obrázkoch 8.5-11 a 8.5-12.

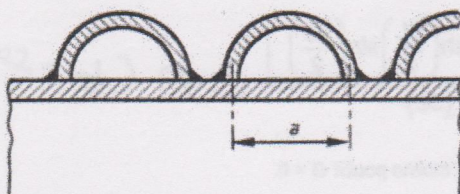
Hrúbka valca požadovaná na prenos tlaku v kanáloch je daná:

$$e = a \sqrt{\frac{P_c}{3f}} \quad (8.5.3-23)$$

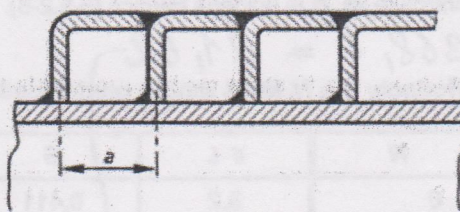
kde a je znázornená na obrázkoch 8.5-11 a 8.5-12.

Valec musí splňať aj požiadavky 7.4.2 (na vnútorný tlak), 8.5.3.6 alebo 8.5.3.7 (na vonkajší tlak) pri neuvažovaní tlaku v kanáloch. Kanály možno posudzovať ako výstuhy proti vonkajšiemu tlaku.

POZNÁMKA. – Rovnica (8.5.3-23) nezahŕňa tlak P , lebo ten sa prenáša membránovým zaťažením valca.



Obrázok 8.5-11 – Duplikátory s vyhrievacimi/ochladzovacimi polrúrkovými kanálmi



Obrázok 8.5-12 – Duplikátory s vyhrievacimi/ochladzovacimi komôrkovými kanálmi

8.5.3.6 Navrhovanie ľahkých výstuh

8.5.3.6.1 Všeobecne

Na zabránenie celkového preborenia/zrútenia sa musia navrhovať ľahké výstuhy v súlade s postupmi v článkoch 8.5.3.6.2, 8.5.3.6.3 a 8.5.3.6.4.

8.5.3.6.2 Navrhovanie proti elastickej nestabiliti

Vypočítajte sa P_g pre $n = 2$ až $n = 6$ použitím:

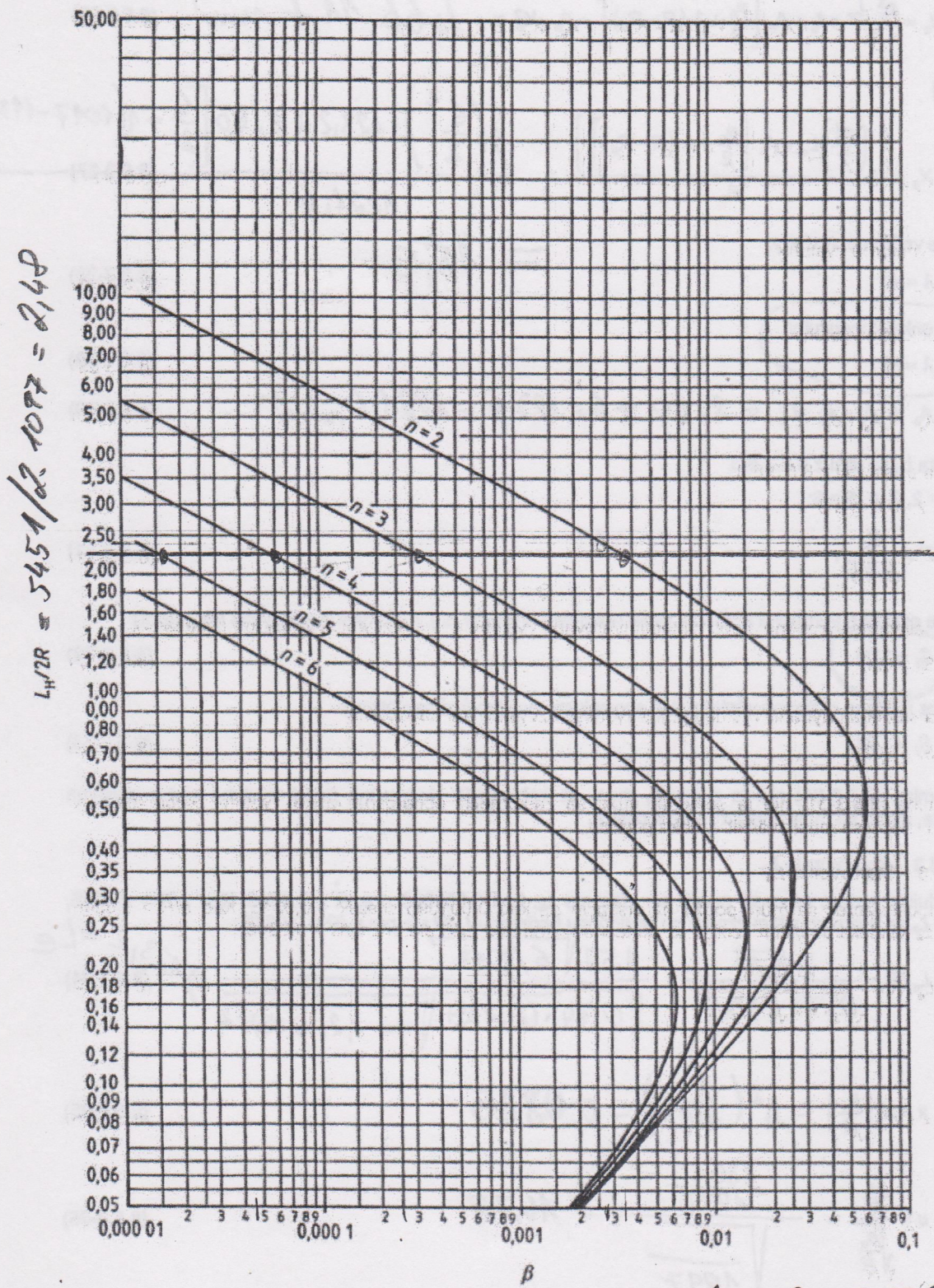
$$P_g = \frac{E \cdot e_a \cdot \beta}{R} + \frac{(n^2 - 1)}{R^3 \cdot L_s} E \cdot I_e = \frac{2,023 \cdot 10^5 \cdot 6 \cdot 0,0000042}{1097} + \frac{(4^2 - 1) \cdot 2,023 \cdot 10^5}{1097^3 \cdot 1362} \cdot 466,17 = 0,1833$$

kde β je ziskané buď z obrázka 8.5-13, alebo vypočítané z:

$$\beta = \frac{1}{\left[n^2 - 1 + \frac{1}{2} \left(\frac{\pi R}{L_H} \right)^2 \right] \left[n^2 \left(\frac{L_H}{\pi R} \right)^2 + 1 \right]^2} \quad (8.5.3-25)$$

POZNÁMKA. – Obrázok 8.5-13 je nakreslený z rovnice (8.5.3-25).

L_s a L_H sú ziskané z tabuľky 8.5-1.

Obrázok 8.5-13 – Hodnoty β

$$\left. \begin{array}{l} n=2 \quad \beta = 0,00265 \\ n=3 \quad \beta = 0,000223 \\ n=4 \quad \beta = 0,000039 \\ n=5 \quad \beta = 0,0000103 \\ n=6 \quad \beta = 0,0000034 \end{array} \right\} \Rightarrow$$

$$= \frac{6^3 \cdot 123,2}{3} + 144000 + 8.60 \left[\frac{6}{2} - 1(1097 - 1130) \right]^2 - 1221,6 \cdot 15,9^2 =$$

STN EN 13445-3 $I_s = \frac{bh^3}{12} = \frac{8 \cdot 60^3}{12} = 144000 \text{ mm}^4$

$$I_e = \frac{e_a^3 \cdot L_e}{3} + I_s + A_s \left[\frac{e_a}{2} + \lambda (R - R_s) \right]^2 - A_s \cdot X_e^2 = 466117 \text{ mm}^4 \quad (8.5.3-26)$$

v ktorej:

$$X_e = \frac{\left\{ \left(\frac{e_a^2}{2} \right) L_e + A_s \left[\frac{e_a}{2} + \lambda (R - R_s) \right] \right\}}{A_s} = \frac{\left\{ \left(\frac{6^2}{2} \right) \cdot 123,2 + 8.60 \left[\frac{6}{2} - 1(1097 - 1130) \right] \right\}}{1221,6} =$$

kde pre vnútorné výstuhy:

$$\lambda = +1 \quad (8.5.3-28)$$

a pre vonkajšie výstuhy:

$$\lambda = -1 \quad (8.5.3-29)$$

$$A_s = A_s + e_a \cdot L_e = 8.60 + 6 \cdot 123,6 = 1221,6 \text{ mm}^2 \quad (8.5.3-30)$$

Hodnota L_e sa určí z 8.5.3.6.3.

Pre $n = 2, 3, 4, 5$ a 6:

$$P \leq \frac{P_g}{S_t \times S}, \quad (8.5.3-31)$$

kde pre osobitne vyrobené alebo za tepla tvarované výstuhy (t. j. s nízkymi zvyškovými napäťami):

$$S_t = 1,20 \quad (8.5.3-32)$$

a pre za studena ohýbané výstuhy (t. j. s vysokými zvyškovými napäťami):

$$S_t = 1,33 \quad (8.5.3-33)$$

Ak rovnica (8.5.3-31) nie je splnená, musí sa zabezpečiť dodatočná ľahká výstava alebo masívna výstava, alebo sa musí zväčšiť hrúbka plášta.

8.5.3.6.3 Stanovenie L_e

Nasledujúci vzorec sa musí použiť na získanie L_e , keď $0,001095 \leq e_a/R \leq 0,0346$. Keď $e_a/R > 0,0346$, potom L_e sa získá použitím vzorca so skutočnou hodnotou L_e/R ale pre $e_a/R = 0,0346$.

$$L_e/R = \frac{Y_1 \sqrt{e_a/R}}{\sqrt{Y_3 - X + \sqrt{Y_2 \cdot X^2}}} = \frac{1,57 \sqrt{6/1097}}{\sqrt{0,174 \cdot 0,0875 + \sqrt{1 + 1,2 \cdot 0,0875^2}}} \Rightarrow 123,2 = L_e \quad (8.5.3-34)$$

kde

$$x = n^2 \left(\frac{e_a}{R} \right) = 4^2 \left(\frac{6}{1097} \right) = 0,0875 \quad (8.5.3-35)$$

$$u = \frac{\frac{L_e}{R}}{\sqrt{\frac{e_a}{R}}} = \frac{\frac{136,2}{1097}}{\sqrt{\frac{6}{1097}}} = 16,78 \quad (8.5.3-36)$$

Hodnoty Y_1 , Y_2 a Y_3 udáva tabuľka 8.5-3

$$\rightarrow \frac{e_a}{R} = \frac{6}{1097} = 0,0055$$

Tabuľka 8.5-3 – Parametre na výpočet L_e

Pre $u =$	$Y_1 =$	$Y_2 =$	$Y_3 =$
$u \leq 1$	$u/(1/1,098 + 0,03u^3)$	0	$0,6(1 - 0,27u)u^2$
$1 < u < 2,2$		$u - 1$	
$2,2 \leq u \leq 2,9$		1,2	
$2,9 < u < 4,1$	$1,2 + 1,642/u$		$0,75 + 1,0/u$
$4,1 \leq u < 5$	$1,556 + 0,183/u$		
$5 \leq u$	$= 1,556 + 0,183/16,78 =$		$0,65 + 1,5/u$

$$\sqrt{16,78} = 1,57 \quad = 0,65 + 1,5/16,78 = 0,74$$

8.5.3.6.4 Maximálne napäťia vo výstuhách

 σ_s sa musí vypočítať zo vzťahu:

$$\sigma_s = S \cdot S_t \left(\frac{P \cdot \sigma_{es}}{P_{ys}} \right) + \frac{E \cdot \bar{d} \cdot 0,005 (n^2 - 1) P \cdot S \cdot S_t}{R (P_g - P \cdot S \cdot S_t)} \quad (8.5.3-37)$$

kde $\bar{d} = 1,5 \cdot 1,2 \left(\frac{0,1 \cdot 223}{2,366} \right) + \frac{2,023 \cdot 10^5 \cdot 50,1 (4^2 - 1) \cdot 0,1 \cdot 1,5 \cdot 1,2 \cdot 0,005}{1097 (0,833 - 0,1 \cdot 1,5 \cdot 1,2)} = 207,91 \text{ Pa}$

$$P_{ys} = \frac{\sigma_{es} \cdot e_a \cdot R_t}{R^2 \left(1 - \frac{v}{2} \right)} \left[1 + \frac{A_m}{w_t \cdot e_a + \frac{2N \cdot e_a}{\delta}} \right] = \frac{223 \cdot 6 \cdot 1160}{1097^2 \left(1 - \frac{0,13}{2} \right)} \left[1 + \frac{452}{8 \cdot 6 + \frac{2 \cdot 1 \cdot 6}{0,018}} \right] = 2,366 \text{ MPa} \quad (8.5.3-38)$$

kde A_m je dané rovnicou (8.5.3-17); δ dané rovnicou (8.5.3-19); N dané rovnicou (8.5.3-21) alebo tabuľkou 8.5-2;

A pre každú výstuhu:

$$W_i = W'_i + W''_i \quad (8.5.3-39)$$

a

$$\bar{d} = \max \left\{ \left[\lambda (R - R_t) - X_e + \frac{e_a}{2} \right]; X_e \right\} = \max \left\{ -1(1097 - 1160) - 15,9 + \frac{6}{2} \right\} = 15,9 \quad (8.5.3-40)$$

 S_t je dané rovnicou (8.5.3-32) alebo (8.5.3-33); P_g dané rovnicou (8.5.3-24).

$$= \max \{ 50,1; 15,9 \} = 50,1$$

Pre celý výpočet platí:

- dĺžky L , L_e musí byť v súlade s tabuľkou 8.5-1;
- L_e sa získá z 8.5.3.6.3 pre každú hodnotu n .

Pre $n = 2, 3, 4, 5$ a 6:

$$0 \leq \sigma_s \leq \sigma_{es} \quad 0 \leq 93,6 \leq \sigma_{es} = 223 \quad \checkmark \quad (8.5.3-41)$$

Ak nie je splnená rovnica (8.5.3-41) musí byť zabezpečená dodatočná výstuga, masívnejšia výstuga alebo zväčšená hrúbka plášta.

POZNÁMKA. – Zjednodušenie $A_m = 0$ je vždy pristupné, ale vyvolá väčší prierez výstuh.